

EL CONJUNTO INDUSTRIAL ACHELENSE DEL EMBALSE DE URRÚNAGA (ÁLAVA)

*Andoni Sáenz de Buruaga**

*Javier Fernández Eraso**

*Tomás Urigoitia***

RESUMEN.—Desde 1985 hasta 1990 se han venido recogiendo una buena serie de materiales líticos (guijarras tallados unifaciales y bifaciales, núcleos centripetos y *Levallois*, bifaces y otros productos de lascado) en determinados «sitios» emplazados a las orillas del embalse de Urrunaga (Álava).

La materia prima predominante —con la excepción de un bifaz en sílex— es caliza mineralizada muy rica en componentes férricos.

Si bien la ausencia de registros estratigráficos condicionan notablemente la valoración del conjunto, el análisis de los caracteres morfotécnicos de los artefactos, tienden a definir el conjunto dentro de un Paleolítico Inferior Final (Achelense Superior).

ABSTRACT.—From 1985 till now (1990), a great number of stone materials (choppers, chopping-tools, nuclei centripetal and *Levallois* bifacial stones and other flake) have been gathered around certain places on the banks of the Urrunaga reservoir (Alava-Spain).

The predominant raw materials —with the exception of a bifacial flint— are mineralized limestone, very rich in ferric elements.

Even if the lack of stratigraphic registers highly conditions its assessment or valuation as a whole, the analysis of the morphotechnical artefacts, would define it, culturally, in the context of the late Lower Palaeolithic (Upper Acheulean).

1. Presentación

La publicación en el año 1986, en la revista *Estudios de Arqueología Alavesa*, del artículo «Evidencias aisladas de cantos tallados en las márgenes del embalse de Urrúnaga (Álava)», suponía la incorporación al corpus de materiales prehistóricos alaveses de tres ejemplares líticos, hallados durante 1985, que, a juzgar por sus caracteres morfotécnicos se le hacía encajar, provisionalmente, en el Achelense (“*lato sensu*”) (SÁENZ DE BURUAGA, J.A.; URIGOITIA, T. 1986).

Desde ese momento hasta la actualidad, las prospecciones llevadas a cabo en la misma zona —desde

1986 hasta 1990—, han aportado un notable lote de evidencias «homologables» que permiten definir, de una manera sólida, el conjunto morfotécnico y emitir juicios más precisos acerca de su valoración cultural.

2. El marco geográfico y la recogida de datos

El embalse de Urrúnaga o Santa Engracia —obra de ingeniería llevada a cabo en el decenio 1947/1957— se encuentra situado en una de las partes septentrionales del territorio histórico de Álava, próximo en de-

* Departamento de Geografía, Prehistoria y Arqueología, Universidad del País Vasco. 01006 Vitoria-Gasteiz.

** Inst. Alavés de Arqueología. San Antonio, 41. 01005 Vitoria-Gasteiz.

terminados puntos al de Vizcaya. De manera inmediata se hallan ubicadas en su entorno más próximo las localidades alavesas de Elosu, Goiain, Legutio (Villarreal de Álava), Nafarrate, Urbina y Urrúnaga, y, algo más distante, la vizcaina de Otxandío, ocupando terrenos adscritos administrativamente a los ayuntamientos de Legutio y Zigoitia.

La zona, de clara influencia oceánica, forma parte de las estribaciones más orientales del macizo de Gorbea, divisoria de aguas cantábrico-mediterráneas: se trata de un espacio de tránsito, con suaves elevaciones y abiertos valles, entre la depresión meridional de la Llanada alavesa y los valles cantábricos septentrionales (GALDOS, R.; RUIZ URRESTARAZU, E. 1983, pp. 43-44).

Los materiales prehistóricos estudiados en este trabajo se han recogido en diversos sitios localizados a las orillas del embalse. Su afloramiento se debe a la erosión producida por el lavado de las aguas en los márgenes del mismo; fenómeno no totalmente regular pues su incidencia se encuentra vinculada a factores geomorfológicos (relieve), climatológicos (periodos lluviosos o secos) y, consecuentemente, temporales (en términos generales, las épocas post-estivales ofrecen mejores condiciones de recogida). Así, pues, las prospecciones se han llevado a cabo de acuerdo con estos condicionantes: su procedimiento operativo pasa por el reconocimiento de las zonas liberadas por el agua, la recuperación de las evidencias observadas, su localización cartográfica, su inventariado y, finalmente, su siglado¹.

Sin embargo, las orillas del embalse, han proporcionado, además de esta serie, una ingente cantidad de evidencias líticas postpaleolíticas —encuadradas culturalmente entre el Neolítico y la Edad del Bronce— en superficie. Al ser bastante elevado el número de lugares —superan los cuarenta— que con entidad espacial proporcionaban materiales prehistóricos, se creyó oportuno, de cara a su mejor identificación, dar una sigla general (EU = Embalse de Urrúnaga) acompañada de un numeral (en orden creciente y ligado, en consecuencia, a la aparición de

nuevos sitios) y, en el caso de conservarse, su topónimo.

3. Distribución de evidencias por lugares

Las evidencias paleolíticas recuperadas provienen de un total de diecisiete lugares. En todos los casos se trata de materiales de superficie, es decir, carentes de registro estratigráfico. Si bien el número de lugares es amplio, el número de restos recuperados suponen sólo 146, siendo el conjunto más notable el correspondiente a EU-3 Belaustegi (44), mientras que, por ejemplo, 10 lugares ofrecen lotes inferiores a 5.

Su distribución es la siguiente (Fig. 1):

1. EU-21 Zabalain: 13 efectivos (un disco, un denticulado, cinco núcleos y seis productos brutos de talla).
2. EU-40 Ibarra: 8 efectivos (un bifaz, un hendedor, cinco núcleos y un producto bruto de talla).
3. EU-1 Mugarri: 13 efectivos (un canto bifacial elemental, dos raederas sobre canto, tres bifaces, una raedera y un denticulado sobre lasca, cuatro núcleos y un producto bruto de talla).
4. EU-3 Belaustegi: 44 efectivos (un canto bifacial elemental, dos bifaces sobre canto, un bifaz sobre lasca, una raedera y tres denticulados sobre lasca, once núcleos y veinticinco productos brutos de talla).
5. EU-6 Ubera: 2 efectivos (un disco y un triedro).
6. EU-8 Kargaleku Norte: 4 efectivos (un núcleo y tres productos brutos de talla).
7. EU-10 Kargaleku Sur: 2 efectivos (dos núcleos).
8. EU-13 Urduleta: 3 efectivos (dos bifaces y un núcleo).
9. EU-15 Antzerikueta: 3 efectivos (dos bifaces y un núcleo).
10. EU-18 Zioltatz: 2 efectivos (dos productos brutos de talla).
11. EU-23 Etxebarri: 15 efectivos (un canto bifacial elemental, dos raederas sobre lasca, seis núcleos y seis productos brutos de talla).
12. EU-30 Zalzagain: 13 efectivos (una raedera sobre canto, cinco núcleos y siete productos brutos de talla).
13. EU-31 Tribitu: 16 efectivos (dos cantos bifaciales elementales, dos bifaces, dos denticulados sobre canto, tres núcleos y siete productos brutos de talla).

¹ La colección de materiales prehistóricos, que aquí analizamos, corresponden a las recogidas periódicas efectuadas por nosotros mismos, a los que hay que añadir algunos ejemplares cedidos por J.A. MADINABEITIA, F. GALCERÁN y A. ROA, a quienes agradecemos su desinteresada colaboración.

Queremos también dejar constancia de nuestro agradecimiento a aquellos amigos, que en numerosas ocasiones, nos han ayudado a prospectar: además de los citados, a C. URIGOITIA, J. URBINA y F. DE MIGUEL.

14. EU-32 Joxenpozu: 1 efectivo (un núcleo).
15. EU-33 San Prudencio: 2 efectivos (un denticulado sobre canto y un núcleo).
16. EU-34 Barrillegan: 1 efectivo (un núcleo).
17. EU-38 Zaratzen: 4 efectivos (un canto bifacial elemental, una raedera sobre canto y dos núcleos).

Con relación a los tres cantos tallados, hallados en la etapa anterior, de los que ya hemos hecho referencia señalaremos —a modo de referencia— que el bifaz y la raedera sobre canto se hallaron próximos al denominado EU-8 Kargakelu Norte y el canto bifacial elemental en EU-3 Belaustegi.

Sin embargo, además del marco espacial en el que se ubican y de las circunstancias a las que están ligadas los hallazgos, los caracteres morfotécnicos del conjunto (técnicas de talla y retoque de los utensilios, carácter centrípeta de los núcleos, etc...), así como la materia prima empleada (con la excepción de un ejemplar en sílex y otro en cuarcita, el resto de la serie se soporta sobre caliza), propician su tratamiento como un sólo conjunto.

4. Análisis de los materiales

La distribución por categorías del efectivo disponible, se ha estructurado del modo siguiente: 58 productos brutos de talla, 49 núcleos y 39 útiles, primando en este último caso aquellos ejemplares fabricados sobre canto (29) por encima de los ejecutados sobre lasca (10).

De acuerdo, pues, con esta primera y básica catalogación se procederá al análisis de sus caracteres.

4.1. Metodología

Descansando en los principios de la Tipología Analítica, se plasmará en función de las exigencias de cada categoría específica.

Como norma general, para todos los casos, previamente a la definición del ejemplar se ha procedido a individualizarlo por medio de una sigla en la que se ha contemplado el número de orden de la categoría correspondiente, el lugar de procedencia y el número del inventario general.

4.1.1. Útiles

Los caracteres morfotécnicos y físicos de los tipos obligan a establecer un tratamiento específico según estén ejecutados sobre canto o sobre lasca.

4.1.1.1. Útiles sobre canto

Aglutina este epígrafe a cantos bifaciales elementales (“*Chopper*” y “*Chopping-tool*”), bifaces, discos, hendedores, triedros, raederas y denticulados.

Su análisis descansa en una ficha de trabajo (Fig. 2) articulada, básicamente, en torno a los siguientes enunciados:

- Definición morfológica del tipo: síntesis entre la disposición del filo (convergente o no), de los lados y extremidades (opuestos, compuestos) y de la forma de arista (sinuosa, rectilínea).
- Materia prima y presencia o no de córtex en la misma.
- Naturaleza centrípeta o no de los levantamientos y cómputo de los mismos sobre las caras del ejemplar, denominando, en consecuencia, cara superior a la que presenta mayor número de extracciones.
- Tipometría: dependiendo de la orientación del objeto y aceptando como válido el criterio convencional de que $L \geq a \geq e$, se ha efectuado por medio de la lectura directa sobre el “*rectangle minimal*” (LAPLACE, G. 1977, pp. 34s) para la longitud (L) y la anchura (a) y del calibre para el espesor (e). Consecuencia de ello es el establecimiento de los índices de alargamiento (Ia) y de carenado (Ic) y la aplicación de los módulos empíricos \emptyset (= 1,618) y $\sqrt{5}$ (= 2,236) de cara a la catalogación de las piezas en cortas (Ia < \emptyset) o largas (Ia $\geq \emptyset$) y carenadas (Ic < $\sqrt{5}$) o planas (Ic $\geq \sqrt{5}$) (LAPLACE, G. 1972, pp. 101-105).
- Articulación del retoque por medio de una fórmula analítica (LAPLACE, G. 1987).
- Observaciones varias: desgaste (¿por agua?), fracturas antiguas y recientes.

4.1.1.2. Útiles sobre lasca

Su representación concierne a determinados tipos de los grupos de raederas, denticulados y foliáceos. La ficha técnica hace referencia a:

- Denominación morfotécnica del ejemplar.
- Materia prima.
- Naturaleza fragmentaria o no del objeto.
- Presencia o no del carácter Levallois del soporte.

CANTO TALLADO

DIMENSIONES

eje mayor.....
 eje menor.....
 espesor.....

CARACTER

unifacial
 bifacial

Nº. DE LEVANTAMIENTOS

cara superior.....
 cara inferior.....

NATURALEZA DE LOS LEVANTAMIENTOS

centrípetos
 no centrípetos

MATERIA PRIMA

caliza
 cuarcita
 sílex
 pizarra
 otros.....

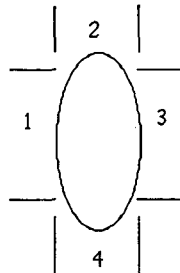
OBSERVACIONES

INDICES

alargamiento.....
 carenado.....

DELINEACION DE LA ARISTA

rectilínea
 sinuosa



SIGLA

FILO

no convergente
 único

lateral
 transversal
 Rect.
 Conc.
 Conx.
 Sin.
 Ang.

varios

opuestos
 compuestos

		1	2	3	4
lat+trans.	<input type="radio"/>				
trans+lat.	<input type="radio"/>				
Rect.	<input type="radio"/>				
Conc.	<input type="radio"/>				
Conx.	<input type="radio"/>				
Sin.	<input type="radio"/>				
Ang.	<input type="radio"/>				

convergente

opuestos
 compuestos

		1	2	3	4
lat+trans.	<input type="radio"/>				
trans+lat.	<input type="radio"/>				
Rect.	<input type="radio"/>				
Conc.	<input type="radio"/>				
Conx.	<input type="radio"/>				
Sin.	<input type="radio"/>				
Ang.	<input type="radio"/>				

FORMULA ANALITICA

Figura 2. Modelo de ficha empleado en el estudio de los cantos tallados.

- Tipo de talón: únicamente atestiguados el liso y el cortical.
- Presencia de córtex sobre las caras.
- Tipometría: de acuerdo a los criterios de orientación plasmados en el "rectangle minimal" y cálculo de los índices de alargamiento y espesor.
- Articulación del retoque mediante una fórmula analítica (LAPLACE, G. 1987).

4.1.2. Núcleos

Se ha señalado en ellos:

- Tipología del ejemplar: centrípeto (se habla de «tendencia centrípeta» en aquellos núcleos que, orientados tecnológicamente en una línea centrípeta, poseen un número de extracciones cuyo total no supera el 50% del perímetro de la pieza), Levallois, prismático y amorfo. Incidiendo, en los dos primeros, en su preparación alternante o continua, en su carácter total o parcial (expresado por %) y, en los prismáticos, en el número y morfología de los planos de percusión; además, en todos los casos que lo posibilitan, se apunta

la morfología de los soportes extraídos (lascas, láminas).

- Materia prima: presencia de textura interna y de córtex (%) en caras y bordes.
- Número de extracciones: especificando, en cada cara, aquellas que son de preparación de las que no lo son.
- Tipometría: del núcleo (procediéndose de la misma manera que los útiles sobre canto) y, si es posible, por medio de un calibre, de los soportes máximos y mínimos extraídos (descartando los propios de preparación).
- Observaciones varias: agotado/no agotado; desgaste (¿por agua?); fracturas antiguas y recientes.

4.1.3. Productos brutos de talla

Además de los datos comunes a todas las categorías, su ficha técnica contiene:

- Catalogación del ejemplar de acuerdo con la nomenclatura propuesta por B. BAGOLINI (1968).

- Tipometría: entre paréntesis se expresa la efectuada mediante calibre siguiendo las normas de B. Bagolini; entre corchetes aquella obtenida a través de su orientación por el “*rectangle minimal*” y consecuencia de ello, cálculo de los índices de alargamiento y espesor.

- Carácter Levallois o no del soporte.
- Tipo de talón: se han constatado casos de ablacionados, lisos, corticales, facetados, diedros y filiformes.
- Materia prima y presencia de córtex o no.
- Observaciones varias: desgaste (¿por agua?), fracturas, cráteres, ablaciones de bulbo.

4.2. Análisis cualitativo del conjunto prehistórico

4.2.1. Útiles

4.2.1.1. Sobre canto

Cantos bifaciales elementales

1. EU.1.187. Canto bifacial elemental de filo no convergente y lados compuestos, bilaterotransversal convexos, de arista sinuosa.

Sobre caliza; cortical.

Levantamientos centrípetos: 15.

Cara superior: 8.

Cara inferior: 7.

Dimensiones: 136,0 × 100,0 × 43,3.

Ia = 1,36. Ic = 2,33.

Spd sen. dst. + S(P)pd = /Ppi + Spi dst.

2. EU.3.112. Canto bifacial elemental de filo no convergente, único, lateral, anguloso, de arista sinuosa (Fig. 3).

Sobre caliza; cortical.

Levantamientos no centrípetos: 11.

Cara superior: 7.

Cara inferior: 4.

Dimensiones: 107,0 × 82,5 × 66,7.

Ia = 1,30. Ic = 1,24.

Spb alt. ang. trg. sen.

Muy desgastado por ambas caras (¿por agua?).

3. EU.23.136. Canto bifacial elemental de filo no convergente, lados compuestos transverso-laterales, anguloso convexos y arista sinuosa.

Sobre caliza; cortical.

Levantamientos centrípetos: 10.

Cara superior: 6.

Cara inferior: 4.

Dimensiones: 64,0 × 51,5 × 29,9.

Ia = 1,24. Ic = 1,72.

S(P)pb alt. ang. dst. + S(P)pb alt. cvx. dxt.

4. EU.31.8. Canto bifacial elemental, de filo no convergente, lados compuestos, transversolaterales, rectilíneo-angulosos y de arista sinuosa.

Sobre caliza; cortical.

Levantamientos centrípetos: 11

Cara superior: 6.

Cara inferior: 5.

Dimensiones: 101,0 × 87,0 × 58,9.

Ia = 1,16. Ic = 1,48.

S(P)pd rct. dst. = /Spi + S(P)pb alt. ang. dxt.

5. EU.31.111. Canto bifacial elemental de filo no convergente, único, lateral convexo y de arista rectilínea.

Sobre caliza; cortical.

Levantamientos no centrípetos: 5.

Cara superior: 4.

Cara inferior: 1.

Dimensiones: 103,0 × 80,0 × 36,5.

Ia = 1,29. Ic = 2,19.

Spd cvx. sen = /Ppi.

6. EU.38.178. Canto bifacial elemental, de filo no convergente, único, transversal-convexo, de arista sinuosa.

Sobre caliza; cortical.

Levantamientos centrípetos: 8.

Cara superior: 4.

Cara inferior: 4.

Dimensiones: 82,0 × 77,0 × 28,0.

Ia = 1,06. Ic = 2,75.

S(P)pb alt. cvx. dst.

Bifaces

1. EU.1.10. Bifaz sobre canto de filo convergente, lados opuestos, convexo-cóncavos y de arista rectilínea.

Sobre caliza; cortical.

Levantamientos centrípetos: 17.

Cara superior: 11.

Cara inferior: 6.

Dimensiones: 104,0 × 79,0 × 41,6.

Ia = 1,32. Ic = 1,90.

Ppb alt. escal. bilat. cvgt.

2. EU.1.146. Bifaz sobre canto de filo convergente, lados opuestos convexos y de arista sinuosa. Sobre caliza; cortical.

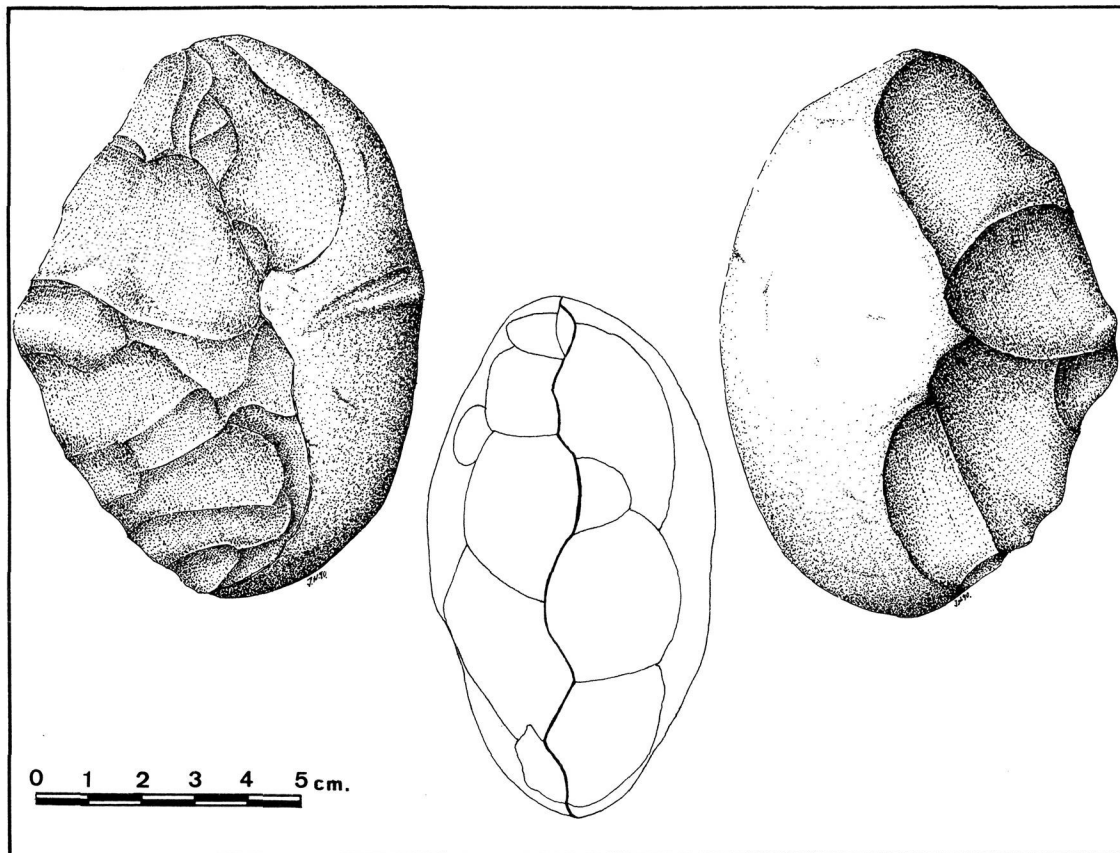


Figura 3

Levantamientos centrípetos: 18.

Cara superior: 11.

Cara inferior: 7.

Dimensiones: 116,0 × 94,0 × 27,6.

Ia = 1,23. Ic = 3,41.

Ppb alt. cvx. bilat. cvgt.

Fractura distal.

3. EU.1.185. Bifaz sobre canto de filo convergente, lados opuestos, convexos y arista sinuosa.

Sobre caliza; cortical.

Levantamientos centrípetos: 18.

Cara superior: 9.

Cara inferior: 9.

Dimensiones: 101,0 × 79,0 × 43,0.

Ia = 1,28. Ic = 1,84.

S(P)pb alt. escal. cvx. bilat. cvgt.

4. EU.3.154. Bifaz sobre canto de filo convergente, lados opuestos convexos y de arista sinuosa.

Sobre caliza; cortical.

Levantamientos centrípetos: 17.

Cara superior: 10.

Cara inferior: 7.

Dimensiones: 88,0 × 61,0 × 27,1.

Ia = 1,44. Ic = 2,25.

Ppd cvx. sen. prox. med.-Ppb alt. escal. dst.

• Ppb alt. escal.

Desgaste (¿por agua?).

5. EU.3.177. Bifaz sobre canto de filo convergente, lados compuestos bilaterotransversales, convexo-rectilíneos y de arista rectilínea (Fig. 4).

Sobre caliza; cortical.

Levantamientos centrípetos: 21.

Cara superior: 13.

Cara inferior: 8.

Dimensiones: 107,0 × 96,0 × 32,0.

Ia = 1,11. Ic = 3,00.

Ppd escal. cvx. sen. prox. med. = /Api prox. med.-frac. dst. + Ppb alt. cvx. dst. + Ppb escal. cvx. dxt. + Api rct. prox.

Melladuras recientes.

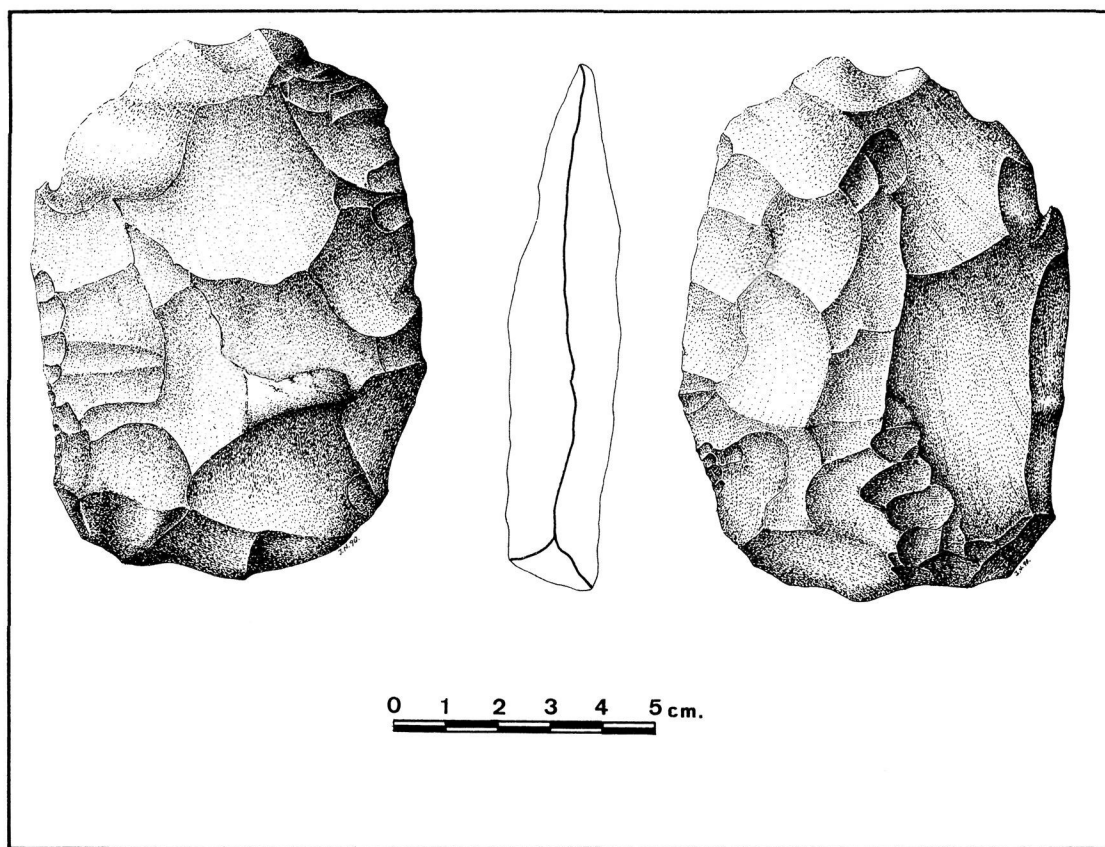


Figura 4

6. EU.13.183. Bifaz sobre canto de filo convergente, lados opuestos, rectilíneos y de arista sinuosa.

Sobre caliza; cortical.

Levantamientos centrípetos: 13.

Cara superior: 8.

Cara inferior: 5.

Dimensiones: 120,0 × 75,0 × 34,0.

Ia = 1,60. Ic = 2,21.

Spb alt. rct. bilat. cvgt.

Desgaste (¿por agua?).

7. EU.13.161. Bifaz sobre canto de filo convergente, lados opuestos, convexos y de arista sinuosa.

Sobre caliza; cortical.

Levantamientos centrípetos: 8.

Cara superior: 5.

Cara inferior: 3.

Dimensiones: 122,0 × 80,0 × 49,7.

Ia = 1,52. Ic = 1,61.

Ppb alt. cvx. bilat. cvgt.

8. EU.15.110. Bifaz sobre canto de filo convergente, lados opuestos rectilíneos y de arista sinuosa (Fig. 5).

Sobre caliza; cortical.

Levantamientos centrípetos: 19.

Cara superior: 12.

Cara inferior: 7.

Dimensiones: 110,0 × 68,0 × 34,7.

Ia = 1,62. Ic = 1,96.

Spb alt. escal. rct. bilat. cvgt.

9. EU.15.114. Bifaz sobre canto de filo convergente, lados opuestos convexo-rectilíneos y arista sinuosa.

Sobre caliza; cortical.

Levantamientos centrípetos: 12.

Cara superior: 8.

Cara inferior: 4.

Dimensiones: 122,0 × 101,5 × 29,6.

Ia = 1,20. Ic = 3,43.

Ppb alt. escal. bilat. cvgt.

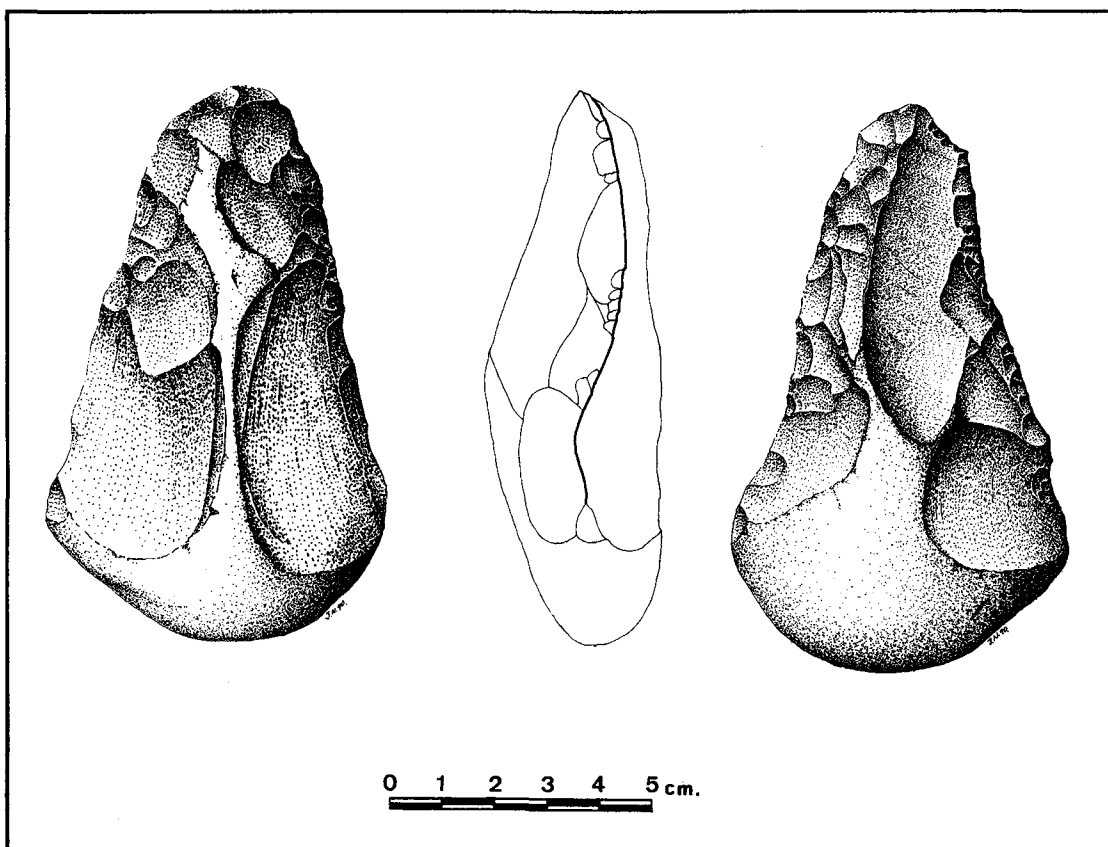


Figura 5

10. EU.31.118. Bifaz sobre canto, de filo convergente, lados opuestos, convexos y de arista sinuosa.

Sobre caliza; cortical.

Levantamientos centrípetos: 14.

Cara superior: 8.

Cara inferior: 6.

Dimensiones: 110,0 × 100,0 × 23,0.

Ia = 1,10. Ic = 4,35.

Ppb alt. escal. bilat. cvgt.

Sobre caliza; cortical.

Levantamientos centrípetos: 8.

Cara superior: 4.

Cara inferior: 4.

Dimensiones: 95,0 × 83,0 × 37,8.

Ia = 1,14. Ic = 2,20.

(d)S(P)pb alt. bilat. cvgt.

11. EU.31.192. Bifaz sobre canto, de filo convergente, lados opuestos, convexos y de arista sinuosa.

Sobre caliza; cortical.

Levantamientos centrípetos: 18.

Cara superior: 10.

Cara inferior: 8.

Dimensiones: 147,0 × 80,0 × 60,0.

Ia = 1,84. Ic = 1,33.

Spd cvx./ = Ppi bilat. cvgt.

1. EU.6.170. Disco alternante bifacial sobre canto de arista sinuosa.

Sobre caliza; cortical en ambas caras y borde (14%).

Levantamientos centrípetos: 16.

Cara superior: 9.

Cara inferior: 7.

Dimensiones: 96,0 × 92,0 × 35,5.

Ia = 1,04. Ic = 2,59.

Ppb alt. circular parcial.

12. EU.40.1. Bifaz sobre canto, de filo convergente, lados opuestos, sinuosos y de arista sinuosa (Fig. 6).

2. EU.21.129. Disco alternante bifacial sobre canto de arista sinuosa (Fig. 7).

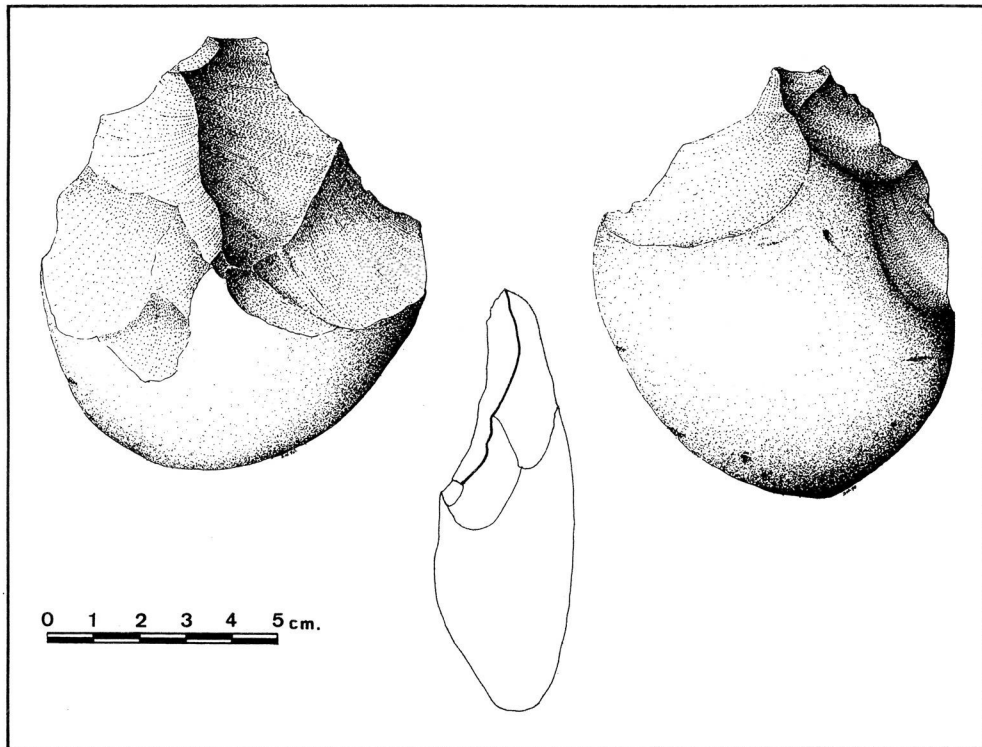


Figura 6

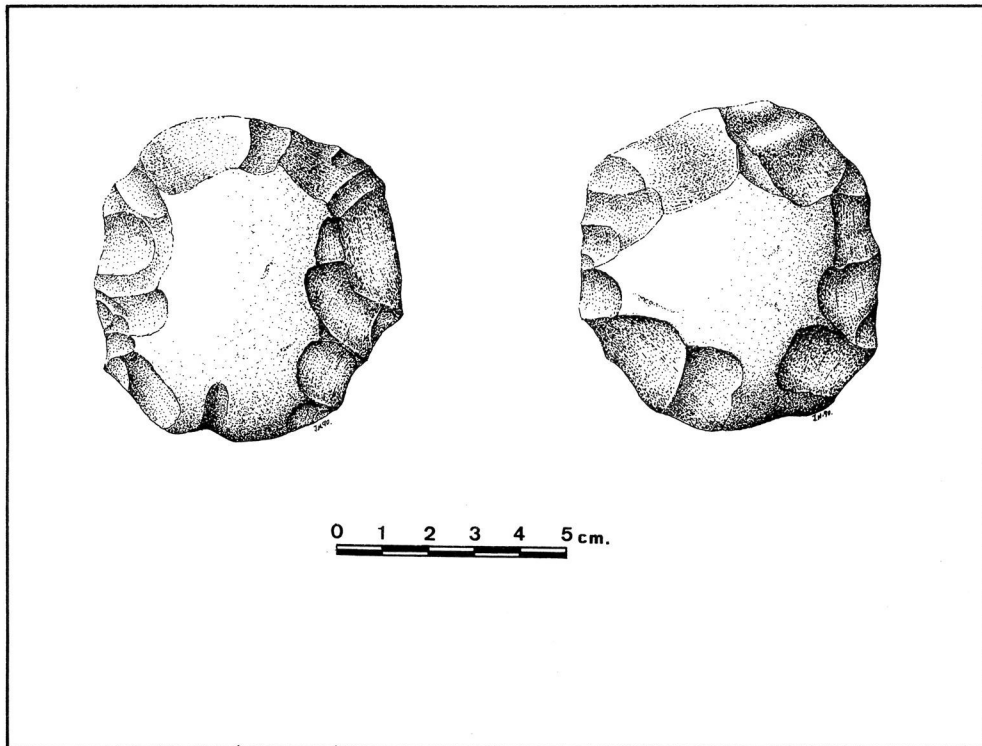


Figura 7

Sobre caliza; cortical en ambas caras y borde (12%).

Levantamientos centrípetos: 22.

Cara superior: 13.

Cara inferior: 9.

Dimensiones: 72,0 × 71,0 × 22,6.

Ia = 1,01. Ic = 3,14.

Ppb alt. circular parcial.

Desgaste (¿por agua?).

Hendedores bifaciales

1. EU.40.9. Hendedor sobre canto de filo no convergente, lados compuestos, bilaterotransversales, rectilíneos y de arista sinuosa (Fig. 8).

Sobre caliza; cortical.

Levantamientos centrípetos: 12.

Cara superior: 7.

Cara inferior: 5.

Dimensiones: 145,0 × 80,0 × 45,9.

Ia = 1,81. Ic = 1,74.

Ppb dst./ + Ppb alt. dxt. • Spd sen. prox.-
Ppi med. dst.

Triédros bifaciales

1. EU.6.176. Pico triédrico bifacial sobre canto, de filo convergente, lados opuestos, sinuoso-convexos y de arista sinuosa.

Sobre caliza; cortical.

Levantamientos centrípetos: 12.

Cara superior: 7.

Cara inferior: 5.

Dimensiones: 121,0 × 83,0 × 35,0.

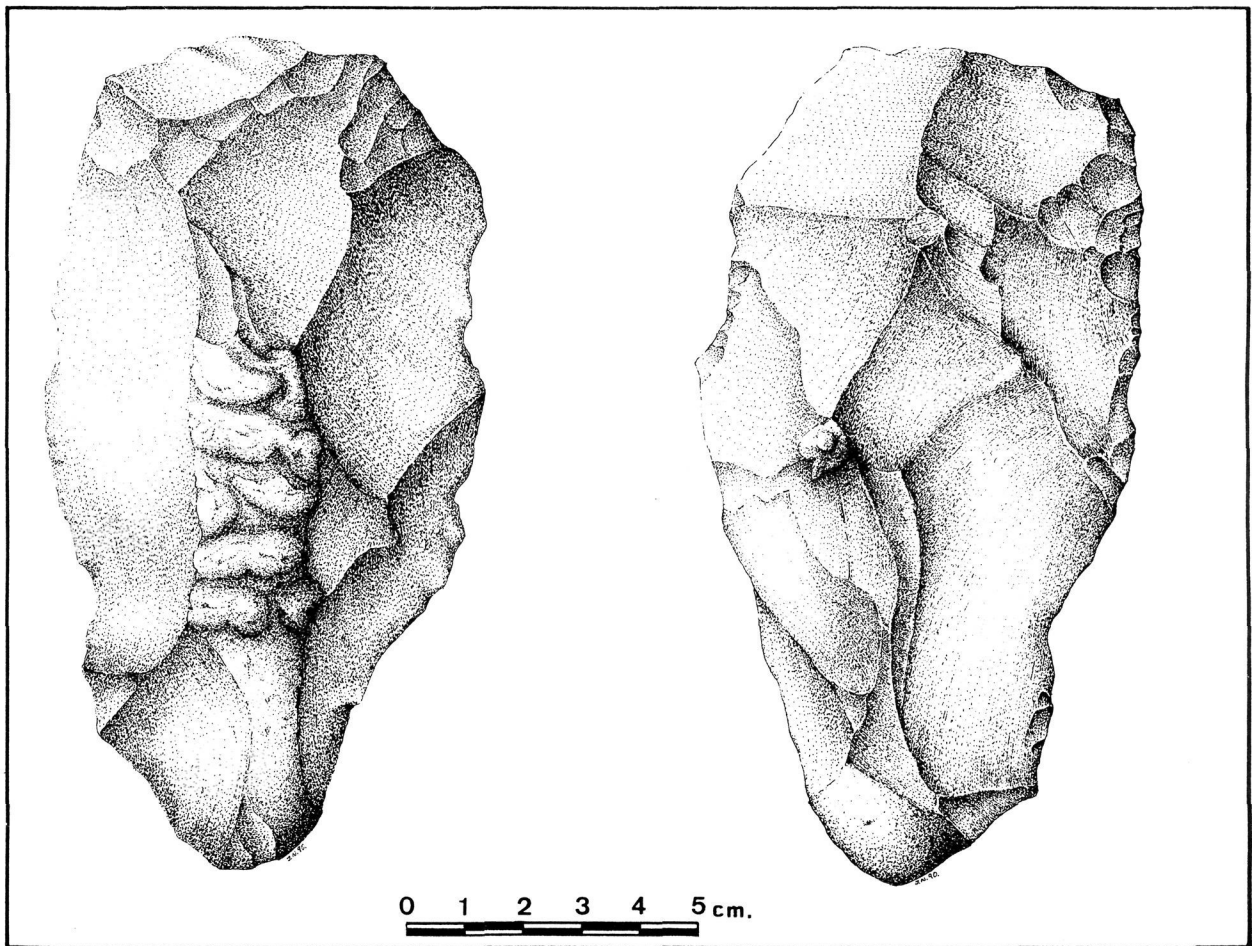


Figura 8

Ia = 1,46. Ic = 2,37.
Ppb alt. bilat. cvgt.

Raederas unificiales

1. EU.30.4. Raedera unifacial sobre canto, de filo no convergente, único, lateral convexo de arista sinuosa.

Sobre caliza; cortical.
Levantamientos centrípetos: 4.
Cara superior: 4.
Dimensiones: 79,0 × 71,0 × 22,8.
Ia = 1,11. Ic = 3,11.
(d)Spd escal. cvx. sen.

2. EU.38.180. Raedera unifacial sobre canto, de filo no convergente, único, transversal, convexo y de arista rectilínea.

Sobre caliza; cortical.
Levantamientos no centrípetos: 2.
Cara superior: 2.
Dimensiones: 87,0 × 85,0 × 32,8.
Ia = 1,02. Ic = 2,59.
Spd escal. cvx. dst.

Raederas bifaciales

1. EU.1.143. Raedera bifacial sobre canto de filo no convergente, único, lateral, convexo, de arista sinuosa.

Sobre caliza; cortical.
Levantamientos centrípetos: 11.
Cara superior: 6.
Cara inferior: 5.
Dimensiones: 73,0 × 66,0 × 33,0.
Ia = 1,11. Ic = 2,00.
Ppb alt. escal. cvx. sen.
Desgaste (¿por agua?).

2. EU.1.147. Raedera bifacial sobre canto de filo convergente compuesto laterotransversal, convexo-rectilíneo y de arista sinuosa.

Sobre caliza; cortical.
Levantamientos centrípetos: 14.
Cara superior: 7.
Cara inferior: 7.
Dimensiones: 87,0 × 84,0 × 33,5.
Ia = 1,04. Ic = 2,51.
Ppd escal. cvx. sen. = /Spi + Ppd escal. rct.
dst. = /S(P)pi.

Denticulados unificiales

1. EU.33.105. Denticulado unifacial sobre canto, de fillos convergentes, compuestos, bitransverso-lateral, convexos, de arista sinuosa.

Sobre caliza; cortical.
Levantamientos centrípetos: 8.
Cara superior: 6.
Cara inferior: 2.
Dimensiones: 75,0 × 57,0 × 27,7.
Ia = 1,32. Ic = 2,06.
dSpd cvx. sen. + dSpd cvx. dst. • dS(P)pi
cvx. prox.

Denticulados bifaciales

1. EU.31.106. Denticulado bifacial sobre canto, de filo convergente, lados compuestos, laterotransversales, convexo-rectilíneos, de arista sinuosa.

Sobre caliza; cortical.
Levantamientos centrípetos: 8.
Cara superior: 5.
Cara inferior: 3.
Dimensiones: 51,0 × 46,0 × 28,9.
Ia = 1,11. Ic = 1,59.
dSpd escal. cvx. = /dPpi sen. + dPpd rct.
= /S(A)pi dst.

2. EU.31.109. Punta denticulada bifacial sobre canto, de filo convergente, lados opuestos, bilaterales, sinuoso-rectilíneos y de arista sinuosa.

Sobre caliza; cortical.
Levantamientos centrípetos: 6.
Cara superior: 5.
Cara inferior: 1.
Dimensiones: 62,5 × 45,0 × 26,9.
Ia = 1,39. Ic = 1,67.
dSpd escal. sin. sen. • dSpd rct. = /Spi.

4.2.1.2. Sobre lasca

1. EU.1.149. Raedera bilateral.
Caliza; lasca; T. liso; córtex en cara superior.
108,0 × 89,0 × 28,2.
Ia = 1,21. Ic = 3,16.
cSpd cvx. sen. • cSpd escal. cvx.

2. EU.1.167. Raedera denticulada unilateral.
Caliza; lasca; T. cortical; córtex en cara superior.
81,0 × 73,0 × 28,8.
Ia = 1,11. Ic = 2,53.

dSpd cvx. dst. / = Ppi dst. sen. / + eSpd mult. escal. dxt.

3. EU.3.99. Raedera bilateral.

Caliza; lasca; T. cortical; córtex cara superior.
98,0 × 84,0 × 28,1.
Ia = 1,17. Ic = 2,99.
cSpi escal. sen. med. • cSpd escal med.
Fractura antigua en lat. dxt. dst.

4. EU.3.122. Bifaz de filo convergente y lados compuestos bilaterotransversales convexos y de arista rectilínea (Fig. 9).

Sobre gran lasca de sílex interno; T. liso desplazado a lat. sen. med.

Dimensiones: 116,0 × 83,0 × 33,6.
Ia = 1,40. Ic = 2,47.

Pbp escal. sen. prox.-Ppi escal. med.-Pbp escal. dst. • Ppb escal. dst.-Ppd escal. med.-Ppb escal. prox. + Ppb escal. prox.

5. EU.3.130. Espina.

Caliza; fragmento dst. de lasca; córtex en cara superior.

49,0 × 63,0 × 16,5.
Ia = 0,78. Ic = 2,97.
e-eSpi som. prox.
Desgaste (¿por agua?).

6. EU.3.132. Muesca.

Caliza; lasca Levallois; T. liso.
56,0 × 44,0 × 14,2.

Ia = 1,27. Ic = 3,10.
eSpi mult. escal. dxt. med./ Apd rct. obl. dst. sen.
Desgaste (¿por agua?).

7. EU.3.186. Raedera denticulada bilateral.

Caliza; lasca; T. cortical.
96,0 × 69,0 × 33,0.
Ia = 1,39. Ic = 2,09.

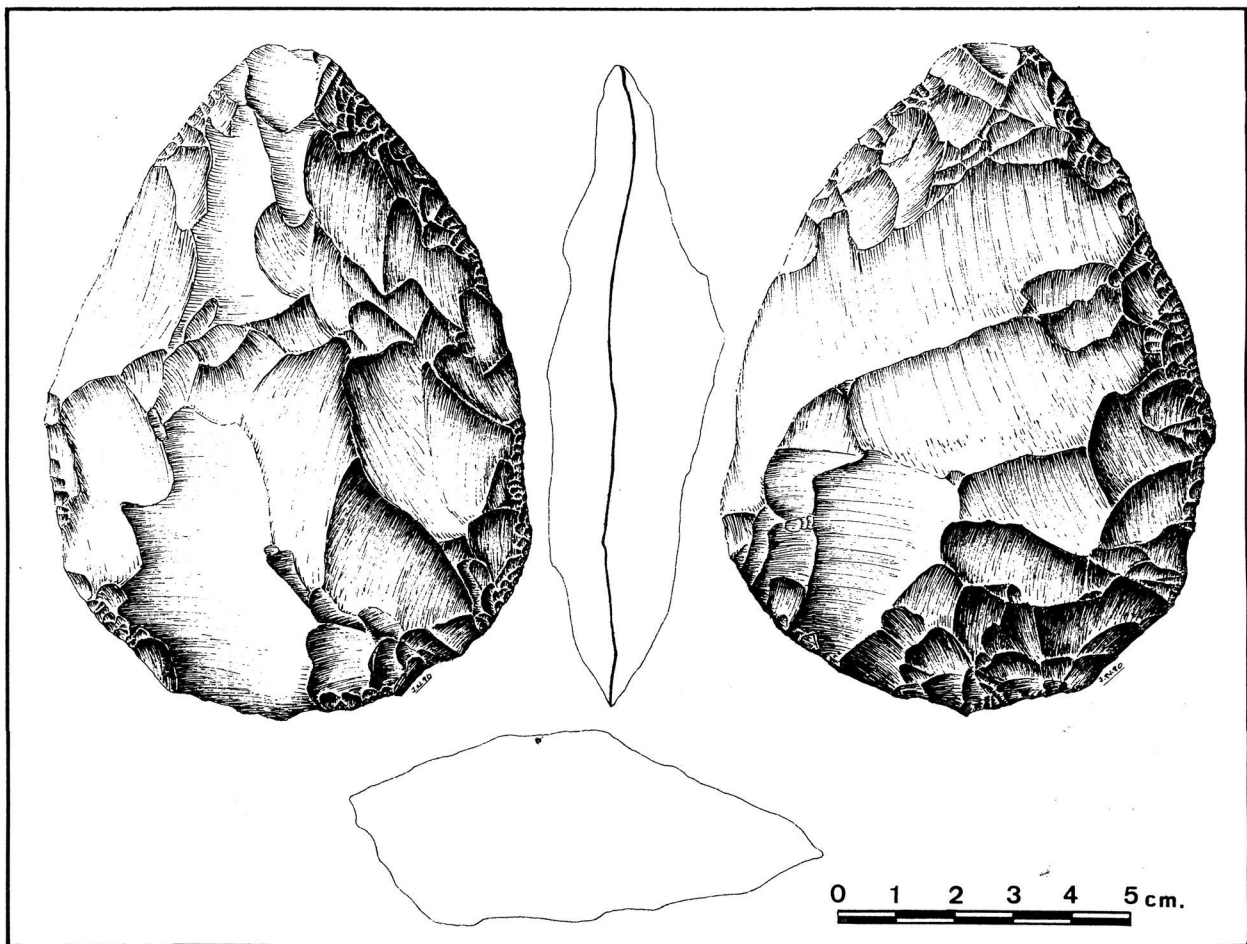


Figura 9

dSpb alt. sin. sen. • dS(P)p alt. cvx.
Desgaste (¿por agua?).

8. EU.21.42. Raedera denticulada unilateral.
Caliza; lasca; T. liso; córtex en cara superior.

55,0 × 49,0 × 20,3.
Ia = 1,12. Ic = 2,41.
dSpi cvx. sen. prox.

9. EU.23.108. Raedera transversal.
Caliza; fragmento dst. de lasca; córtex en cara superior.

51,0 × 95,0 × 13,8.
Ia = 0,54. Ic = 3,70.
cSpi escal. cvx. dst. sen.
Saltados recientes en cara inferior.

10. EU.23.135. Raedera transversal.
Caliza; lasca; T. cortical; córtex en cara superior (Fig. 10).

49,0 × 83,0 × 20,6.
Ia = 0,59. Ic = 2,38.
cSpd escal. cvx. dst.
Saltados recientes en filo.

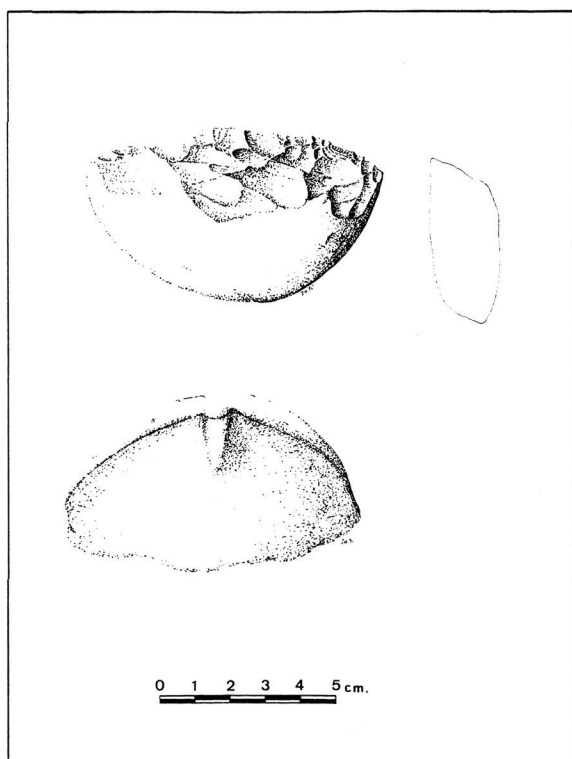


Figura 10

4.2.2. Núcleos

1. EU.1.15. Núcleo centrípeto alternante parcial (83%) de lascas.

Sobre caliza; interno en cara superior y cortical en cara inferior y borde (17%).

Número de extracciones: 16.

Cara superior: 8.

Cara inferior: 8 (de preparación).

Dimensiones:

Núcleo: 70,0 × 58,0 × 24,5.

Soporte máximo: 30,7 × 29,5.

Soporte mínimo: 25,5 × 19,0.

Agotado.

2. EU.1.150. Núcleo centrípeto alternante parcial (86%) de lascas.

Sobre caliza; cortical en cara inferior y parte de la superior y borde (14%).

Número de extracciones: 15.

Cara superior: 5.

Cara inferior: 10 (de preparación).

Dimensiones:

Núcleo: 83,0 × 72,0 × 32,5.

Soporte máximo: 36,5 × 55,3.

Soporte mínimo: 23,0 × 15,6.

Agotado. Desgaste (¿agua?).

3. EU.1.151. Núcleo Levallois alternante parcial (90%) de láminas.

Sobre caliza; interno en cara superior y cortical en cara inferior.

Dimensiones:

Núcleo: 76,5 × 64,0 × 35,8.

Soporte: 69,6 × 33,5.

Agotado. Un solo soporte extraído. Extracción sobre cara más abrupta.

4. EU.1.188. Núcleo centrípeto alternante parcial (77%) de lascas.

Sobre caliza; cortical en ambas caras y borde (23%).

Número de extracciones: 11.

Cara superior: 6.

Cara inferior: 5 (de preparación).

Dimensiones:

Núcleo: 107,5 × 103,0 × 40,6.

Soportes: No precisables.

No agotado. Desgaste (¿por agua?).

5. EU.3.2. Núcleo Levallois alternante total de lascas (Fig. 11A).

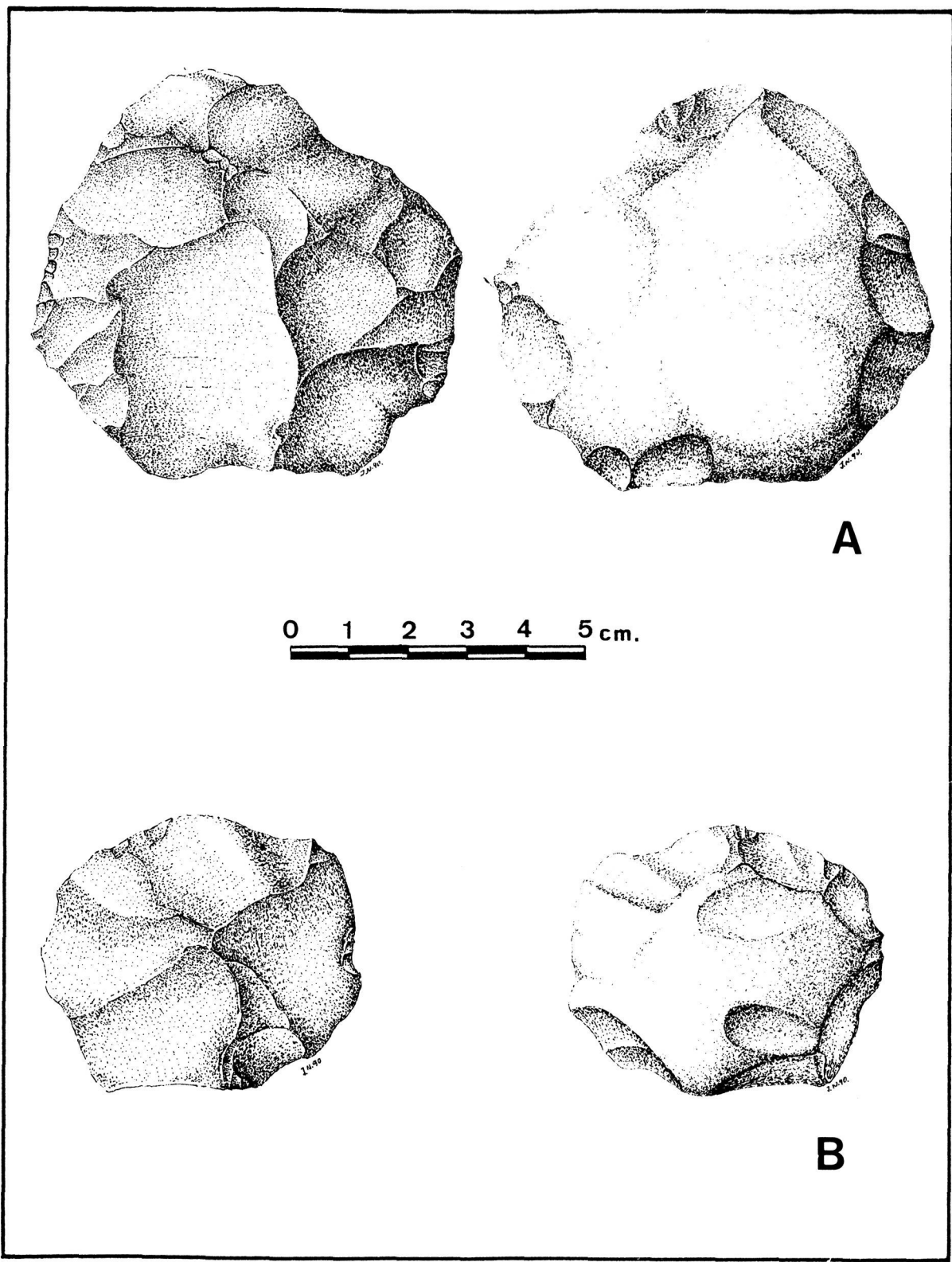


Figura 11

Sobre caliza; interno en cara superior y cortical en inferior.

Dimensiones:

Núcleo: 73,0 × 70,0 × 17,2.

Soporte: 44,1 × 35,4.

Agotado. Un solo soporte extraído. Fracturas recientes sobre parte del borde.

6. EU.3.13. Núcleo Levallois alternante total de lascas.

Sobre caliza; interno en cara superior y cortical en inferior.

Número de extracciones: 2 sólo en cara superior.

Dimensiones:

Núcleo: 76,0 × 70,0 × 22,5.

Soporte máximo: 47,4 × 32,0.

Soporte mínimo: 32,8 × 40,4.

Agotado.

7. EU.3.26. Núcleo Levallois alternante parcial (68,0%) de lascas.

Sobre caliza; interno en cara superior y cortical en inferior y borde (32%).

Dimensiones:

Núcleo: 79,0 × 76,0 × 48,8.

Soporte: 58,0 × 33,0.

Agotado. Un solo soporte extraído. Desgaste (¿por agua?).

8. EU.3.121. Núcleo centrípeto alternante parcial (60%) de lascas.

Sobre caliza; cortical en ambas caras y borde (40%).

Número de extracciones: 10.

Cara superior: 5.

Cara inferior: 5 (de preparación).

Dimensiones:

Núcleo: 90,0 × 75,0 × 30,0.

Soporte máximo: 52,5 × 59,0.

Soporte mínimo: 16,5 × 18,7.

Agotado.

9. EU.3.123. Núcleo de tendencia centrípeta alternante parcial (49%) de lascas.

Sobre caliza; cortical en ambas caras y borde (51%).

Número de extracciones: 16.

Cara superior: 10.

Cara inferior: 6 (de preparación).

Dimensiones:

Núcleo: 81,0 × 68,5 × 33,6.

Soporte máximo: 47,3 × 21,0.

Soporte mínimo: 18,0 × 12,3.

Agotado. Desgaste en cara inferior (¿por agua?).

10. EU.3.124. Núcleo Levallois alternante total de lascas.

Sobre caliza; interno en cara superior y cortical en inferior.

Dimensiones:

Núcleo: 57,0 × 56,5 × 19,0.

Soporte: 41,0 × 46,7.

Agotado. Únicamente un soporte extraído. Desgaste (¿por agua?).

11. EU.3.125. Núcleo centrípeto alternante parcial (85%) de lascas.

Sobre caliza; cortical por ambas caras y borde (15%).

Número de extracciones: 7.

Cara superior: 3.

Cara inferior: 4 (de preparación).

Dimensiones:

Núcleo: 85,0 × 72,0 × 46,3.

Soporte máximo: 71,0 × 39,0.

Soporte mínimo: 27,1 × 28,5.

Agotado.

12. EU.3.144. Núcleo centrípeto continuo y alternante total de lascas.

Caliza; cortical en ambas caras.

Número de extracciones: 9.

Cara superior: 8.

Cara inferior: 1 (de preparación).

Dimensiones:

Núcleo: 137,0 × 110,0 × 50,2.

Soporte máximo: 64,1 × 56,5.

Soporte mínimo: 16,0 × 21,8.

No agotado.

13. EU.3.152. Núcleo centrípeto alternante total de lascas y láminas.

Sobre caliza; interno en cara superior y cortical en inferior.

Número de extracciones: 11.

Cara superior: 6.

Cara inferior: 5 (de preparación).

Dimensiones:

Núcleo: 75,0 × 66,0 × 24,0.

Soporte máximo: 46,0 × 31,5.

Soporte mínimo: 29,6 × 29,6.

Agotado. Desgaste (¿por agua?).

14. EU.3.160. Núcleo centrípeto alternante parcial (66%) de lascas.

Sobre caliza; cortical en ambas caras y borde (34%).

Número de extracciones: 7.

Cara superior: 4.

Cara inferior: 3 (de preparación).

Dimensiones:

Núcleo: 123,0 × 97,0 × 60,0.

Soporte máximo: 69,6 × 53,2.

Soporte mínimo: 32,0 × 43,0.

No agotado. Desgaste (¿por agua?).

15. EU.3.189. Núcleo centrípeta alternante total de lascas.

Sobre caliza; interno en cara superior y cortical en inferior.

Número de extracciones: 16.

Cara superior: 9.

Cara inferior: 7 (de preparación).

Dimensiones:

Núcleo: 76,0 × 76,0 × 30,1.

Soportes: No precisables.

Agotado. Desconchados notables tanto en cara superior como inferior.

Desgaste (¿por agua?).

16. EU.8.128. Núcleo prismático con un plano de talla triangular de lascas y láminas.

Sobre caliza; cortical.

Número total de extracciones: 3.

Dimensiones:

Núcleo: 70,0 × 61,0 × 34,7.

Soporte máximo: 69,0 × 35,0.

Soporte mínimo: 37,7 × 26,4.

Agotado. Desgaste parcial (¿por agua?).

17. EU.10.145. Núcleo amorfo.

Sobre caliza; cortical.

Número de extracciones: 5.

Cara superior: 3.

Cara inferior: 2.

Dimensiones:

Núcleo: 111,0 × 100,0 × 57,0.

Soportes: No precisables.

No agotado. Melladuras recientes.

18. EU.10.155. Núcleo centrípeta alternante total de lascas.

Sobre caliza; interno en cara superior y cortical en inferior.

Número de extracciones: 14.

Cara superior: 8.

Cara inferior: 6 (de preparación).

Dimensiones:

Núcleo: 92,0 × 79,0 × 28,0.

Soporte máximo: 51,3 × 44,1.

Soporte mínimo: 27,0 × 20,4.

Agotado. Melladuras recientes en cara inferior.

Desgaste (¿por agua?).

19. EU.13.181. Núcleo de tendencia centrípeta alternante parcial (27%) de lascas.

Sobre cuarcita; cortical en ambas caras y borde (73%).

Número de extracciones: 3.

Cara superior: 2.

Cara inferior: 1 (de preparación).

Dimensiones:

Núcleo: 87,0 × 82,0 × 39,4.

Soporte máximo: 46,2 × 58,1.

Soporte mínimo: 35,5 × 33,3.

No agotado.

20. EU.15.166. Núcleo centrípeta alternante parcial (78%) de lascas.

Sobre caliza; interno en cara superior y cortical en cara inferior y borde (22%).

Número de extracciones: 8.

Cara superior: 4.

Cara inferior: 4 (de preparación).

Dimensiones:

Núcleo: 131,5 × 120,5 × 57,0.

Soporte máximo: 69,5 × 50,0.

Soporte mínimo: 38,3 × 45,2.

No agotado. Melladuras recientes.

21. EU.21.16. Núcleo centrípeta alternante parcial (87%) de lascas (Fig. 11B).

Sobre caliza; interno en la cara superior y cortical en inferior.

Número de extracciones: 10.

Cara superior: 5.

Cara inferior: 5 (de preparación).

Dimensiones:

Núcleo: 53,0 × 45,0 × 18,7.

Soporte máximo: 27,2 × 36,6.

Soporte mínimo: 23,0 × 13,7.

Agotado.

22. EU.21.17. Núcleo centrípeta alternante parcial (76%) de lascas y láminas.

Sobre caliza; interno en cara superior y cortical en inferior.

Número de extracciones: 11.

Cara superior: 7.

Cara inferior: 4 (de preparación).

- Dimensiones:
 Núcleo: 51,0 × 46,0 × 20,0.
 Soporte máximo: 29,3 × 14,9.
 Soporte mínimo: 13,9 × 13,9.
- Agotado. Dos extracciones laminares paralelas entre sí y a uno de los bordes no preparados (cortical) en toda su extensión y polarizadas en un extremo.
23. EU.21.117. Núcleo de tendencia centrípeta alternante parcial (34%) de lascas.
 Sobre caliza; cortical en ambas caras y borde (66%).
 Número de extracciones: 8.
 Cara superior: 4.
 Cara inferior: 4 (de preparación).
 Dimensiones:
 Núcleo: 134,5 × 124,0 × 63,9.
 Soporte máximo: 62,5 × 32,5.
 Soporte mínimo: 36,0 × 25,0.
 No agotado. Desgaste (¿por agua?).
24. EU.21.156. Núcleo Levallois alternante total de lascas.
 Sobre caliza; interno en cara superior y cortical en inferior.
 Dimensiones:
 Núcleo: 84,0 × 81,0 × 24,8.
 Soporte: 64,8 × 45,6.
 Agotado. Un solo soporte extraído.
25. EU.21.168. Núcleo centrípeta alternante parcial (53%) de lascas.
 Sobre caliza; cortical en ambas caras y borde (47%).
 Número de extracciones: 6.
 Cara superior: 1.
 Cara inferior: 5 (de preparación).
 Dimensiones:
 Núcleo: 61,0 × 55,5 × 28,4.
 Soporte: 36,5 × 40,0.
 Agotado. Un solo soporte extraído.
26. EU.23.100. Núcleo de tendencia centrípeta alternante parcial (34%) de lascas.
 Sobre caliza; cortical en ambas caras y borde (66%).
 Número de extracciones: 4.
 Cara superior: 1.
 Cara inferior: 3 (de preparación).
 Dimensiones:
 Núcleo: 80,5 × 78,0 × 37,8.
 Soporte: 60,0 × 37,6.
 No agotado. Un solo soporte extraído.
27. EU.23.107. Núcleo prismático ortogonal (de dos planos de percusión) de lascas.
 Sobre caliza; cortical en ambas caras.
 Número de extracciones total: 5.
 Dimensiones:
 Núcleo: 61,0 × 54,0 × 30,0.
 Soporte máximo: 47,7 × 29,4.
 Soporte mínimo: 18,7 × 19,5.
 Agotado. Melladuras recientes por ambas caras.
28. EU.23.113. Núcleo de tendencia centrípeta alternante parcial (25%) de lascas.
 Sobre caliza; cortical en ambas caras y borde (75%).
 Número de extracciones: 4.
 Cara superior: 2.
 Cara inferior: 2 (de preparación).
 Dimensiones:
 Núcleo: 104,5 × 78,0 × 56,0.
 Soporte máximo: 62,0 × 36,0.
 Soporte mínimo: 42,0 × 34,0.
 No agotado.
29. EU.23.115. Núcleo centrípeta alternante parcial (59%) de lascas.
 Sobre caliza; cortical en ambas caras y borde (41%).
 Número de extracciones: 9.
 Cara superior: 5.
 Cara inferior: 4 (de preparación).
 Dimensiones:
 Núcleo: 82,0 × 82,0 × 34,2.
 Soportes: No precisables.
 Agotado. Desgaste (¿por agua?).
30. EU.23.116. Núcleo de tendencia centrípeta alternante parcial (32%) de lascas.
 Sobre caliza; cortical en ambas caras y borde (68%).
 Número de extracciones: 5.
 Cara superior: 2.
 Cara inferior: 3 (de preparación).
 Dimensiones:
 Núcleo: 65,0 × 59,0 × 33,0.
 Soporte máximo: 46,0 × 43,5.
 Soporte mínimo: 42,5 × 22,5.
 Agotado.
31. EU.23.137. Núcleo Levallois alternante total de lascas.
 Sobre caliza; interno en cara superior y cortical en inferior.

Dimensiones:

Núcleo: 63,0 × 53,0 × 23,4.

Soporte: 37,2 × 37,1.

Agotado. Un solo soporte extraído.

32. EU.30.3. Núcleo centrípeta alternante parcial (80%) de lascas y láminas.

Sobre caliza; interno en cara superior y cortical en inferior.

Número de extracciones: 11.

Cara superior: 6.

Cara inferior: 5 (de preparación).

Dimensiones:

Núcleo: 60,0 × 53,0 × 26,3.

Soporte máximo: 36,5 × 32,1.

Soporte mínimo: 21,0 × 10,0.

Agotado. Dos extracciones laminares paralelas entre sí y a uno de los bordes no preparados (cortical) en toda su extensión y polarizados en uno de los extremos.

33. EU.30.24. Núcleo centrípeta alternante parcial (78%) de lascas.

Sobre caliza; cortical en ambas caras y borde (22%).

Número de extracciones: 15.

Cara superior: 8.

Cara inferior: 7 (de preparación).

Dimensiones:

Núcleo: 64,5 × 44,0 × 20,3.

Soporte máximo: 31,0 × 26,2.

Soporte mínimo: 18,3 × 12,7.

Agotado.

34. EU.30.104. Núcleo centrípeta alternante parcial (60%) de lascas.

Sobre caliza; cortical en ambas caras y borde (40%).

Número de extracciones: 6.

Cara superior: 2.

Cara inferior: 4 (de preparación).

Dimensiones:

Núcleo: 72,0 × 57,5 × 36,8.

Soporte máximo: 32,7 × 35,0.

Soporte mínimo: 31,5 × 27,3.

Agotado.

35. EU.30.182. Núcleo centrípeta alternante total de lascas.

Sobre caliza; interno en cara superior y cortical en inferior.

Número de extracciones: 12.

Cara superior: 5.

Cara inferior: 7 (de preparación).

Dimensiones:

Núcleo: 71,0 × 62,0 × 23,0.

Soporte máximo: 33,0 × 36,3.

Soporte mínimo: 18,1 × 13,7.

Agotado. Muy desgastado (¿por agua?).

36. EU.30.193. Núcleo de tendencia centrípeta alternante parcial (49%) de lascas.

Sobre caliza; cortical en ambas caras y borde (51%).

Número de extracciones: 8.

Cara superior: 5.

Cara inferior: 3 (de preparación).

Dimensiones:

Núcleo: 97,0 × 78,5 × 28,4.

Soporte máximo: 30,3 × 23,0.

Soporte mínimo: 26,6 × 17,0.

No agotado. Melladuras recientes. Desgaste (¿por agua?).

37. EU.31.5. Núcleo Levallois alternante total de lascas.

Sobre caliza; interno en cara superior y cortical en inferior.

Dimensiones:

Núcleo: 69,5 × 60,5 × 18,3.

Soporte: 39,7 × 28,7.

Agotado. Un solo soporte extraído. En la cara inferior, en uno de los lados perpendicular al eje mayor, no hay, en su estado actual de conservación, golpes de preparación.

38. EU.31.25. Núcleo centrípeta alternante parcial (61%) de lascas.

Sobre caliza; cortical en cara inferior, parte de la superior y en un amplio borde (39%).

Número de extracciones: 10.

Cara superior: 5.

Cara inferior: 5 (de preparación).

Dimensiones:

Núcleo: 46,5 × 43,5 × 21,6.

Soporte máximo: 29,1 × 31,1.

Soporte mínimo: 21,4 × 20,0.

Agotado.

39. EU.31.119. Núcleo de tendencia centrípeta alternante parcial (47%) de lascas.

Sobre caliza; cortical en ambas caras y borde (53%).

Número de extracciones: 4.

Cara superior: 2.

Cara inferior: 2 (de preparación).

Dimensiones:

Núcleo: $101,0 \times 92,5 \times 35,6$.

Soporte máximo: $42,7 \times 36,2$.

Soporte mínimo: $26,3 \times 40,3$.

No agotado. Melladuras recientes. Desgaste (¿por agua?).

40. EU.32.18. Núcleo centrípeto alternante parcial (68%) de lascas.

Sobre caliza; interno en cara superior y cortical en inferior y borde (32%).

Número de extracciones: 10.

Cara superior: 3.

Cara inferior: 7 (de preparación).

Dimensiones:

Núcleo: $59,0 \times 51,0 \times 16,2$.

Soporte máximo: $30,2 \times 26,7$.

Soporte mínimo: $26,6 \times 17,0$.

Agotado.

41. EU.33.21. Núcleo centrípeto alternante parcial (85%) de lascas y láminas.

Sobre caliza; cortical en ambas caras y uno de los bordes (15%).

Número de extracciones: 8.

Cara superior: 4.

Cara inferior: 4 (de preparación).

Dimensiones:

Núcleo: $59,0 \times 52,0 \times 30,9$.

Soporte máximo: $39,5 \times 45,0$.

Soporte mínimo: $27,0 \times 14,5$.

Agotado. Dos extracciones laminares paralelas entre sí y a uno de los bordes no preparados (cortical) en toda su extensión y polarizadas en un extremo. Melladuras recientes en ambas caras.

42. EU.34.23. Núcleo centrípeto alternante parcial (64%) de lascas y láminas.

Sobre caliza; cortical en ambas caras y borde (36%).

Número de extracciones: 9.

Cara superior: 5.

Cara inferior: 4 (de preparación).

Dimensiones:

Núcleo: $67,0 \times 59,0 \times 26,0$.

Soporte máximo: $56,8 \times 13,6$.

Soporte mínimo: $23,1 \times 8,9$.

Agotado.

43. EU.38.158. Núcleo centrípeto alternante total de lascas.

Sobre caliza; interno en cara superior y cortical en inferior.

Número de extracciones: 18.

Cara superior: 7.

Cara inferior: 11 (de preparación).

Dimensiones:

Núcleo: $52,0 \times 50,0 \times 15,2$.

Soporte máximo: $22,0 \times 28,0$.

Soporte mínimo: $15,9 \times 14,0$.

Agotado.

44. EU38.179. Núcleo de tendencia centrípeta alternante parcial (31%) de lascas.

Sobre caliza; cortical en ambas caras y borde (69%).

Número de extracciones: 6.

Cara superior: 4.

Cara inferior: 2 (de preparación).

Dimensiones:

Núcleo: $71,0 \times 50,0 \times 29,6$.

Soporte máximo: $33,3 \times 29,0$.

Soporte mínimo: $10,0 \times 14,6$.

Agotado.

45. EU.40.11. Núcleo Levallois alternante total de lascas.

Sobre caliza; interno en cara superior y cortical en inferior.

Número de extracciones: 2 en cara superior.

Dimensiones:

Núcleo: $88,0 \times 74,0 \times 33,2$.

Soporte máximo: $55,6 \times 58,2$.

Soporte mínimo: $52,5 \times 35,0$.

Agotado. Dos soportes extraídos.

46. EU.40.19. Núcleo prismático de un plano de percusión trapezoidal, en planta, cuya talla afecta a la base menor y a uno de los lados. De lascas y láminas.

Sobre caliza; cortical.

Número de extracciones: 3.

Dimensiones:

Núcleo: $64,0 \times 44,0 \times 24,4$.

Soporte máximo: $34,6 \times 30,0$.

Soporte mínimo: $37,5 \times 6,8$.

Agotado.

47. EU.40.22. Núcleo Levallois alternante parcial (84%) de lascas.

Sobre caliza; interno en cara superior y cortical en inferior y borde (16%).

Dimensiones:

Núcleo: $72,0 \times 67,0 \times 23,0$.

Soporte extraído: $54,0 \times 55,0$.

Agotado. Un solo soporte extraído. Melladuras recientes en cara superior y borde.

48. EU.40.101. Núcleo centrípeto alternante parcial (85%) de lascas.

Sobre caliza; cortical en ambas caras y borde (15%).

Número de extracciones: 6.

Cara superior: 4 (de preparación) y
1 (de extracción).

Cara inferior: 1 (de preparación).

Dimensiones:

Núcleo: 84,0 × 80,0 × 44,1.

Soporte: 29,6 × 39,4.

No agotado. Un solo soporte extraído.

49. EU.40.164. Núcleo centrípeto alternante parcial (56%) de lascas.

Sobre caliza; cortical en ambas caras y borde (44%).

Número de extracciones: 8.

Cara superior: 5.

Cara inferior: 3 (de preparación).

Dimensiones:

Núcleo: 70,0 × 60,0 × 40,7.

Soporte único medible: 28,0 × 33,0.

Agotado.

4.2.3. *Productos brutos de talla*

1. EU.153. Gran lasca ancha (53,0 × 65,0 × 27,1) [57,5 × 75,0]. Ia = 0,77. Ic = 2,12. No Levallois. Talón liso. Sobre caliza interna.

2. EU.3.28. Gran lasca anchísima (50,4 × 111,8 × 34,7) [75,0 × 114,0]. Ia = 0,66. Ic = 2,16. No Levallois. Talón liso. Sobre caliza cortical.

3. EU.3.32. Gran lasca (75,8 × 61,3 × 22,4) [79,0 × 50,0]. Ia = 1,58. Ic = 2,23. No Levallois. Talón liso. Sobre caliza cortical. Melladuras recientes.

4. EU.3.34. Gran lasca anchísima (48,0 × 94,2 × 27,9) [52,0 × 96,5]. Ia = 0,54. Ic = 1,86. No Levallois. Talón liso. Sobre caliza cortical.

5. EU.3.35. Gran lasca ancha (41,7 × 48,5 × 7,5) [41,0 × 48,5]. Ia = 0,84. Ic = 5,47. No Levallois. Talón filiforme. Sobre caliza cortical. Melladuras recientes.

6. EU.3.40. Fragmento proximal de lámina Levallois. Talón facetado convexo. Sobre caliza interna. Melladuras recientes.

7. EU.3.43. Fragmento distal lasca no Levallois. Sobre caliza cortical. Melladuras recientes.

8. EU.3.44. Gran lasca (57,9 × 48,4 × 12,0) [60,5 × 48,0]. Ia = 1,26. Ic = 4,00. No Levallois. Talón liso. Sobre caliza interna. Ablación de bulbo.

9. EU.3.54. Pequeña lasca ancha (24,5 × 28,9 × 11,9) [21,5 × 28,0]. Ia = 0,77. Ic = 1,81. No Levallois. Talón liso. Sobre caliza cortical. Desgaste (¿por agua?).

10. EU.3.55. Lasca (39,5 × 30,7 × 10,3) [49,0 × 30,0]. Ia = 1,63. Ic = 2,91. No Levallois. Talón liso. Sobre caliza cortical.

11. EU.3.60. Gran lasca muy ancha (39,3 × 57,8 × 12,5) [50,5 × 42,5]. Ia = 1,19. Ic = 3,40. No Levallois. Talón ablacionado. Sobre caliza cortical. Tableta de avivado.

12. EU.3.61. Lasca muy ancha (30,7 × 46,4 × 15,5) [45,5 × 27,5]. Ia = 1,65. Ic = 1,77. No Levallois. Talón cortical. Sobre caliza cortical.

13. EU.3.64. Lasca (32,5 × 29,3 × 8,5) [37,5 × 27,0]. Ia = 1,39. Ic = 3,18. No Levallois. Talón liso. Sobre caliza interna.

14. EU.3.73. Lasca ancha (30,0 × 39,5 × 11,0) [46,5 × 31,5]. Ia = 1,48. Ic = 2,86. No Levallois. Talón liso. Sobre caliza interna.

15. EU.3.81. Lasca ancha (35,6 × 37,7 × 17,5) [35,0 × 36,5]. Ia = 0,96. Ic = 2,00. No Levallois. Talón liso. Sobre caliza interna.

16. EU.3.87. Pequeña lasca anchísima (12,2 × 30,4 × 11,8) [20,0 × 30,0]. Ia = 0,67. Ic = 1,69. No Levallois. Talón liso. Sobre caliza cortical.

17. EU.3.126. Gran lasca (49,3 × 40,1 × 9,5) [52,5 × 34,5]. Ia = 1,52. Ic = 3,63. Levallois. Talón liso. Sobre caliza interna.

18. EU.3.127. Gran lasca (73,1 × 66,8 × 13,5) [70,0 × 64,5]. Ia = 1,08. Ic = 4,78. No Levallois. Talón diedro. Sobre caliza cortical. Desgaste (¿por agua?).

19. EU.3.133. Gran lasca muy ancha (35,0 × 50,5 × 10,0) [34,5 × 49,5]. Ia = 0,70. Ic = 3,45. No Levallois. Talón liso. Sobre caliza interna.

20. EU.3.142. Fragmento proximal de lasca no Levallois. Talón liso. Sobre caliza cortical.

21. EU.3.171. Gran lasca (60,0 × 47,9 × 14,9) [58,5 × 47,5]. Ia = 1,23. Ic = 3,19. Levallois. Talón ablacionado. Sobre caliza cortical. Ablación de bulbo.

22. EU.3.172. Gran lasca muy ancha (39,5 × 62,9 × 16,0) [37,0 × 52,5]. Ia = 0,70. Ic = 2,31. No Levallois. Talón filiforme. Sobre caliza cortical.

23. EU.3.173. Lasca muy ancha (28,3 × 46,6 × 6,4) [27,5 × 45,0]. Ia = 0,61. Ic = 4,30. No Levallois. Talón filiforme. Sobre caliza cortical. Melladuras recientes.
24. EU.3.174. Gran lasca muy ancha (44,7 × 61,0 × 18,9) [55,0 × 44,5]. Ia = 1,24. Ic = 2,35. No Levallois. Talón liso. Sobre caliza cortical.
25. EU.3.175. Gran lasca (48,0 × 48,4 × 15,0) [56,5 × 46,5]. Ia = 1,21. Ic = 3,10. No Levallois. Talón liso. Sobre caliza cortical. Melladuras recientes.
26. EU.3.190. Gran lasca laminar (61,0 × 34,5 × 9,0) [61,5 × 34,5]. Ia = 1,78. Ic = 3,83. No Levallois. Talón facetado cóncavo. Sobre caliza interna.
27. EU.8.45. Gran lasca (45,0 × 45,2 × 12,7) [49,5 × 44,5]. Ia = 1,01. Ic = 3,50. Levallois. Talón facetado convexo. Sobre caliza interna. Melladuras recientes.
28. EU.8.48. Gran lasca (48,7 × 40,2 × 11,0) [49,5 × 38,5]. Ia = 1,29. Ic = 3,50. Levallois. Talón facetado convexo. Sobre caliza interna. Ablación de bulbo.
29. EU.8.49. Fragmento medial de lasca Levallois. Sobre caliza interna. Melladuras recientes.
30. EU.18.157. Gran lasca muy ancha. (45,7 × 68,9 × 22,0) [50,5 × 64,5]. Ia = 0,78. Ic = 2,29. No Levallois. Talón diedro. Sobre caliza interna. Melladuras recientes.
31. EU.18.159. Gran lasca. (58,0 × 49,5 × 19,0) [60,0 × 49,5]. Ia = 1,21. Ic = 2,60. No Levallois. Talón liso. Sobre caliza cortical.
32. EU.21.29. Gran lasca. (70,0 × 69,3 × 19,0) [67,5 × 70,0]. Ia = 0,96. Ic = 3,55. No Levallois. Talón cortical. Sobre caliza cortical. Melladuras recientes y desgaste (¿por agua?).
33. EU.21.33. Gran lasca ancha. (45,0 × 52,0 × 17,0) [53,5 × 52,0]. Ia = 1,03. Ic = 3,06. No Levallois. Talón liso. Sobre caliza interna. Melladuras recientes.
34. EU.21.57. Gran lasca muy ancha. (36,0 × 52,0 × 11,0) [36,0 × 52,0]. Ia = 0,69. Ic = 3,27. No Levallois. Talón liso. Sobre caliza cortical. Ablación de bulbo. Melladuras recientes.
35. EU.21.79. Fragmento distal de lasca no Levallois. Sobre caliza cortical. Melladuras recientes.
36. EU.21.96. Fragmento medial de lámina no Levallois. Sobre caliza interna. Desgaste (¿por agua?).
37. EU.21.131. Gran lasca muy ancha. (41,0 × 62,2 × 18,8). [45,5 × 61,0]. Ia = 0,75. Ic = 2,42. No Levallois. Talón liso. Sobre caliza cortical. Melladuras recientes.
38. EU.23.31. Gran lasca laminar. (75,0 × 38,0 × 13,5) [76,0 × 35,5]. Ia = 2,14. Ic = 2,63. No Levallois. Talón liso. Sobre caliza cortical. Ablación de bulbo y melladuras recientes.
39. EU.23.51. Gran lasca. (55,3 × 51,7 × 7,2) [55,5 × 51,0]. Ia = 1,09. Ic = 7,08. No Levallois. Talón filiforme. Sobre caliza cortical. Melladuras recientes.
40. EU.23.59. Fragmento proximal de lasca no Levallois. Talón diedro. Sobre caliza cortical. Ablación de bulbo y melladuras recientes.
41. EU.23.138. Gran lasca. (59,2 × 45,5 × 20,3) [59,0 × 43,5]. Ia = 1,36. Ic = 2,14. No Levallois. Talón cortical. Sobre caliza cortical. Melladuras recientes.
42. EU.23.140. Lasca muy ancha. (24,4 × 40,0 × 13,0) [24,0 × 39,0]. Ia = 0,61. Ic = 1,85. No Levallois. Talón cortical. Sobre caliza cortical. Melladuras recientes.
43. EU.23.163. Fragmento proximal de lámina no Levallois. Talón liso. Sobre caliza cortical. Melladuras recientes.
44. EU.30.38. Fragmento distal de lámina no Levallois. Sobre caliza cortical.
45. EU.30.39. Gran lasca ancha. (37,0 × 48,2 × 9,2) [33,0 × 48,0]. Ia = 0,69. Ic = 3,59. No Levallois. Talón liso. Sobre caliza interna. Melladuras recientes.
46. EU.30.41. Fragmento distal de lasca Levallois. Sobre caliza interna. Melladuras recientes y desgaste (¿por agua?).
47. EU.30.58. Fragmento proximal de lámina no Levallois. Talón liso. Sobre caliza cortical. Melladuras recientes.
48. EU.30.72. Gran lasca ancha. (38,0 × 44,0 × 7,5) [30,0 × 50,0]. Ia = 0,60. Ic = 4,00. No Levallois. Talón ablacionado. Sobre caliza cortical.
49. EU.30.80. Fragmento proximal de lámina no Levallois. Talón liso. Sobre caliza cortical.
50. EU.30.169. Fragmento proximal de lasca no Levallois. Talón liso. Sobre caliza interna. Melladuras recientes y muy desgastado (¿por agua?).

51. EU.31.6. Fragmento proximal de lámina Levallois. Talón facetado convexo. Sobre caliza interna. Ablación de bulbo.

52. EU.31.7. Lasca. (37,0 × 34,0 × 8,0) [36,5 × 33,5]. Ia = 1,09. Ic = 4,19. Levallois. Talón liso. Sobre caliza cortical. Melladuras recientes y cráter.

53. EU.31.36. Gran lasca. (46,7 × 37,4 × 12,6) [46,5 × 38,5]. Ia = 1,21. Ic = 3,05. Levallois. Talón liso. Sobre caliza cortical. Melladuras recientes.

54. EU.31.56. Fragmento distal de lámina no Levallois. Sobre caliza cortical. Melladuras recientes.

55. EU.31.67. Fragmento proximal de lasca no Levallois. Talón liso. Sobre caliza cortical.

56. EU.31.69. Lasca. (34,7 × 25,6 × 7,6) [36,5 × 19,5]. Ia = 1,87. Ic = 2,57. No Levallois. Talón liso. Sobre caliza interna. Cráter.

57. EU.31.85. Pequeña lasca ancha. (24,0 × 26,3 × 9,1) [30,0 × 24,5]. Ia = 1,22. Ic = 2,69. No Levallois. Talón liso. Sobre caliza interna.

58. EU.40.165. Gran lasca. (44,3 × 37,0 × 10,2) [44,0 × 36,0]. Ia = 1,22. Ic = 3,53. No Levallois. Talón facetado convexo. Sobre caliza cortical. Melladuras recientes.

4.3. Cuantificación de los datos

Se expresa por los siguientes cuadros de contingencia:

4.3.1. Útiles sobre canto

Cuadro 1. Caracteres morfológicos, físicos y tipométricos.

TIPO	FILO		ORIENTACION				ARISTA		caliza	cort.	CENTRIP		M.ALARG.		M.ESPES.		Σ
	cvgt	no	lat	trv	lados comp.	lados ops.	sin.	ret.			si	no	c	l	p	cr	
CANTO BIFACIAL		6	2	1	3		5	1	6	6	4	2	6		2	4	6
BIFAZ	12				1	11	11	1	12	12	12		10	2	6	6	12
DISCO BIFACIAL		2			2		2		2	2	2		2		2		2
TRIEDRO BIFACIAL	1					1	1		1	1	1		1		1		1
HENDEADOR BIFACIAL		1			1		1		1	1	1			1		1	1
RAEDERA BIFACIAL	1	1	1		1		2		2	2	2		2		1	1	2
RAEDERA UNIFACIAL		2	1	1			1	1	2	2	1	1	2		2		2
DENTIC. BIFACIAL	2				1	1	2		2	2	2		2			2	2
DENTIC. UNIFACIAL	1				1		1		1	1	1		1			1	1
TOTAL	17	12	4	2	10	13	26	3	29	29	26	3	26	3	14	15	29

cvgt=convergente ; lat=lateral ; trv=transversal ; lados comp.=lados compuestos ; lados ops.=lados opuestos ; sin.=sinuoso ; ret.=rectilíneo ; cort.=cortical ; CENTRIP.=centripeto ; M.ALARG.= Módulo de alargamiento ; é=corto ; l=largo ; M.ESPES=Módulo de espesor ; p=plano ; cr.=carenado.

Cuadro 2. Caracteres tecnológicos: Modos del retoque.

	S	S(P)	P	S=I/P	P=I/S	P=I/A	P+S	S+S(P)	Σ
Canto Bifacial	1	3		2					6
Bifaz	2	2	6		1	1			12
Disco			2						2
Triedro			1						1
Hendedor							1		1
Raedera Bifacial			1		1				2
Raedera Unifacial	2								2
Denticula Bifacial	1			1					2
Denticula Unifacial								1	1
Σ	6	5	10	3	2	1	1	1	29

4.3.2. Útiles sobre lasca

Cuadro 3. Caracteres tecnológicos: Dirección del retoque.

	SOBREIMPOSICION				NO (d,d <i>si</i>)	Σ
	ALTERNANTE	No ALTERNANTE		MIXTA		
	b alt	d=i	d/i	d=i+b alt		
Canto Bifacial	3	1		2		6
Bifaz	10		1	1		12
Disco	2					2
Triedro	1					1
Hendedor	1					1
Raedera Bifacial	1	1				2
Raedera Unifacial					2	2
Denticula Bifacial		2				2
Denticula Unifacial					1	1
Σ	18	4	1	3	3	29

Cuadro 4. Caracteres morfotécnicos, físicos y tipométricos.

	CA	SI	TALON			CTX	M.ALARG.		M.ESP.		LEV	ESC	Σ
			liso	cort	no		C	L	P	CR			
RAEDERA	4		1	2	1	4	4		4			4	4
DENTICUL	5		2	2		4	5		4	1	1	2	5
BIFAZ		1	1				1		1			1	1
Σ	9	1	4	4	1	8	10		9	1	1	7	10

CA=caliza; SI=sílex; cort=cortical; CTX=cortex; M.ALARG=Módulo de alargamiento; C=corto; L=largo; M.ESP=Módulo de espesor; P=plano; CR=carenado; Lev=levantamientos; ESC=Escalariforme.

4.3.3. Núcleos

Cuadro 5. Caracteres tecnológicos y físicos de los núcleos vinculados a extracciones perimétricas.

	alt	cont+alt	par	tot	cal	cuar	ci	ci+b	ci+cs	ci+cs+b	ag	no ag	Σ
CENTRIPETO	25	1	20	6	26		8	3	1	14	21	5	26
TENDENCIA CENTRIPETA	9		9		8	1				9	3	6	9
LEVALLOIS	10		3	7	10		8	2			10		10
Σ	44	1	32	13	44	1	16	5	1	23	34	11	45

alt=alternante; cont=continuo; par=parcial; tot=total; cal=caliza; cuar=cuarcita; ci=cara inferior; b=borde; cs=cara superior

4.3.4. Productos brutos de talla

Cuadro 6. Caracteres morfotécnicos, físicos y tipométricos.

	M.Alarg		M.Espes		Levallois	No	TALON						Cal	Cort	Int	Σ
	C	L	P	Cr			Abl	Lis	Cort	Fct	Ddr	Fif				
Gran Lasca Laminar		2	2			2		1		1			2	1	1	2
Gran Lasca Anchísima	2			2		2		2					2	2		2
Gran Lasca Muy Ancha	7		7			7	1	4			1	1	7	5	2	7
Gran Lasca Ancha	5		4	1		5	1	3				1	5	2	3	5
Gran Lasca	14		12	2	5	9	1	6	2	3	1	1	14	10	4	14
Lasca Muy Ancha	2	1	1	2		3			2			1	3	3		3
Lasca Ancha	2		1	1		2		2					2		2	2
Lasca	2	2	4		1	3		4					4	2	2	4
Pequeña Lasca Ancha	2		1	1		2		2					2	1	1	2
Pequeña Lasca Anchísima	1			1		1		1					1	1		1
Σ	37	5	32	10	6	36	3	25	4	4	2	4	42	27	15	42
Ygt.Prox. Lasca					1	3		3			1		4	3	1	4
Ygt.Med. Lasca					1								1		1	1
Ygt.Dist. Lasca					1	2							3	2	1	3
Ygt.Prox. Lámina					2	3		3		2			5	3	2	5
Ygt.Med. Lámina						1							1		1	1
Ygt.Dist. Lámina						2							2	2		2
Σ					5	11		6		2	1		16	10	6	16
E	37	5	32	10	11	47	3	31	4	6	3	4	58	37	21	58

M.Alarg.= Módulo de Alargamiento; C=corto; L=largo; M.Espes=Módulo de Espesor; P=plano; Cr=carenado; Abl=ablacionado; Lis=liso; Cort=cortical; Fct=facetado; Ddr=diedro; Fif=filiforme; Cal=caliza; Int=interno; Ygt=fragmento; Prox=proximal; Med=medial; Dist=distal.

5. Caracteres generales de las industrias y evaluación cultural

Como anteriormente se ha señalado, la muestra lítica disponible alcanza el total de 146 ejemplares, correspondiente a 39 útiles, 49 núcleos y 58 productos brutos de talla.

Sin duda la característica más sobresaliente es la cuasi uniformidad en la elección de la materia prima: con la excepción de un bifaz en sílex y de un núcleo en cuarcita, el resto de la serie se halla ejecutada sobre cantos de caliza mineralizada, rica en componentes férricos, con una elevada densidad y ofreciendo sus cortezas coloraciones que, fruto de los procesos de oxidación adquieren apariencias hematíticas (rojizo) o limoníticas (amarillento). Además en la mayor parte de las formas es constatable la presencia de córtex: únicamente en dos útiles sobre lasca y en veintidós productos brutos de talla se puede señalar lo contrario.

Veamos ahora los caracteres propios de cada categoría y de las series tipológicas en cada una de ellas:

5.1. Útiles sobre canto

Los veintinueve ejemplares se reparten del modo siguiente: seis cantos bifaciales elementales, doce bifaces, dos discos bifaciales, un triedro bifacial, un hendedor bifacial, dos raederas unifaciales, dos bifaciales, un denticulado unifacial y dos bifaciales.

* *Caracteres comunes dominantes*: aristas sinuosas; carácter centrípeto de los retoques; ejemplares tipométricamente cortos; amplitud profunda de los retoques; sobreimposiciones en la dirección de los retoques —fundamentalmente alternante (bifaz alternante, b alt.) y, en menor medida, no alternante (directo sobre inverso, $d = /i$, directo bajo inverso, $d/ = i$) y mixta (directo sobre inverso compuesto con bifaz alternante, $d = /i + b$ alt.)— en todos los ejemplares bifaciales.

* *Caracteres específicos dominantes*: filos no convergentes y ejemplares tipométricamente carenados en los cantos bifaciales elementales; filos convergentes de lados opuestos en los bifaces; retoques planos en los bifaces y simples con tendencia a planos o simples sobreimpuestos a planos en los cantos bifaciales elementales; carácter escalariforme de los retoques vinculado a raederas y denticulados (6/7), equilibrado en bifaces (6/12) y ausente en el resto.

5.2. Útiles sobre lasca

Un total de diez efectivos de los que cuatro son raederas (dos bilaterales y dos transversales), cinco denticulados (una muesca, una espina, una raedera denticulada unilateral y dos bilaterales) y, por último, un bifaz.

* *Caracteres comunes dominantes*: carácter no levallois de los soportes; ejemplares tipométricamente cortos y planos; predominio del orden tipológico de los Simples frente a los Planos; carácter escalariforme de los retoques.

5.3. Núcleos

Componen un conjunto de cuarenta y nueve individuos caracterizado por la presencia más significativa de los vinculados a extracciones perimétricas —catalogados como centrípetos (26 casos), de tendencia centrípeta (9 casos) y Levallois (10 casos)—, con relación a los prismáticos (3 casos) y amorfos (1 caso).

* *Caracteres específicos dominantes*: extracciones alternantes en los núcleos centrípetos, de tendencia centrípeta y Levallois; extracciones parciales sobre el contorno de los ejemplares en los centrípetos y de tendencia centrípeta y totales en los Levallois; presencia de córtex en cara inferior, cara superior y borde en los centrípetos y de tendencia centrípeta y únicamente en la cara inferior en los Levallois.

5.4. Productos brutos de talla

Se trata de la categoría mejor documentada: 58 ejemplares, de los que la representación más elevada corresponde a las formas enteras (42 casos) —son las definidas, según la nomenclatura de B. Bagolini, como gran lasca laminar (1 caso), gran lasca anchísima (2 casos), gran lasca muy ancha (7 casos), gran lasca ancha (5 casos), gran lasca (14 casos), lasca muy ancha (3 casos), lasca ancha (2 casos), lasca (4 casos), pequeña lasca ancha (2 casos) y pequeña lasca anchísima (1 caso)— frente a las fragmentadas (16 casos).

* *Caracteres comunes dominantes*: representación no significativa de láminas frente a lascas; presencia más notoria, en las formas enteras, de formas grandes que normales y pequeñas, predominando tipométricamente los módulos de alargamiento corto y de espe-

sor plano; carácter Levallois ligeramente representado (19%); incidencia notable de los talones lisos (31 casos) con relación a facetados (6 casos), corticales (4 casos), filiformes (4 casos), diedros (3 casos) y ablaionados (3 casos).

A modo de conclusión, una vez contrastados estos datos con relación a las categorías y ponderando —necesariamente— el papel definitorio de cada una dentro del lote prehistórico, se puede afirmar que, además de la selección de la materia prima, desde el punto de vista tecnológico el carácter centrípeto de las series —lógicamente con especial relevancia en núcleos y útiles sobre canto— viene a ser, en términos generales, uno de los atributos característicos del conjunto industrial. En consecuencia se muestra como un “continuum” morfotécnico especializado en diversos temas más o menos elementales, más o menos complejos, y cuyo generador o motor (“dinámico”) es el desarrollo de la talla centrípeto. En este sentido la interdependencia documentada, en muchos casos, entre núcleos y cantos tallados es tan manifiesta que incide necesariamente, de forma directa, en el proceso de catalogación de los ejemplares: la alternancia de los retoques y la simetría del filo con relación a las caras han sido los criterios prioritarios de definición de los útiles respecto al resto de las formas².

En síntesis, la serie industrial prehistórica paleolítica procedente de diversos lugares de las márgenes del embalse de Urrúnaga —definida, básicamente, por utillaje sobre canto (cantos bifaciales elementales, bifaces, discos, triedros, hendedores, raederas y denticulados), núcleos vinculados tecnológicamente “lato

² Nuestro especial agradecimiento a E.J. VALLESPÍ quien, aportando su experiencia en el conocimiento de estos conjuntos industriales, revisó nuestra colección aclarándonos problemas de definición de muchos de estos tipos. Igualmente a I. BARANDIARÁN por sus orientaciones personales.

sensu” a la talla centrípeto (centrípetos, de tendencia centrípeto y Levallois) y en la cual los utensilios sobre lasca poseen un papel secundario, si bien dentro de ellos debe constatarse la presencia notoria del carácter escalariforme del retoque (se podría hablar en algunos casos de “quinoide”), además de la aparente significación que ofrece la tecnología laminar con relación a las lascas— puede quedar adscrita culturalmente al *Achelense Superior*.

Bibliografía

- BAGOLINI, B. 1968. Ricerche sulle dimensioni dei manufatti litici preistorici non ritoccati. *Annali dell' Università di Ferrara* 1, 10, pp. 195-219.
- GALDOS, R., RUIZ URRESTARAZU, E. 1983. Montes y valles. In: *Álava en sus manos*. Ed. Caja Provincial de Álava. Vitoria, pp. 41-72.
- LAPLACE, G. 1972. La typologie analytique et structurale: Base rationnelle d'étude des industries lithiques et osseuses. *Banques des données archéologiques*. Colloques nationaux C.N.R.S., 932, pp. 91-143.
- LAPLACE, G. 1977. Notes de Typologie Analytique. Orientation de l'objet et rectangle minimal. *Dialektikè*. Cahiers de Typologie Analytique. Centre de Palethnologie stratigraphique Eruri, pp. 32-53.
- LAPLACE, G. 1987. Un exemple de nouvelle écriture de la grille typologique. *Dialektikè*. Cahiers de Typologie Analytique. Centre de Palethnologie stratigraphique Eruri, pp. 16-21.
- SÁENZ DE BURUAGA, J.A., URIGOITIA, T. 1986. Evidencias aisladas de cantos tallados en las márgenes del embalse de Urrúnaga (Álava). *Estudios de Arqueología Alavesa*, 13, pp. 28-45.